

پیشگویی سمیت و ضریب توزیع اکتانول-آب آفت کش‌های آلی کلردار با استفاده از توصیف گرهای مولکولی و روش‌های الگوریتم ژنتیک و رگرسیون خطی چند متغیره

زهرا زمانی^۱، فاطمه شفیعی^{۲*}

۱- دانشجوی دکتری شیمی فیزیک، گروه شیمی، واحد اراک، دانشگاه آزاد اسلامی، اراک، ایران

۲- استادیار شیمی فیزیک، گروه شیمی، واحد اراک، دانشگاه آزاد اسلامی، اراک، ایران

چکیده

در این تحقیق از مطالعه ارتباط کمی ساختار- فعالیت (QSAR) جهت پیشگویی فعالیت‌های آفت کش‌های آلی کلردار استفاده شد. ابتدا به کمک نرم‌افزار گوس ویو ۰۵ ساختار شیمیابی تمام مولکول‌های مورد مطالعه رسم گردید و سپس بهینه‌سازی با نرم‌افزار گوسین ۰۹ و روش هارتی-فاک و سری پایه $G^{*} - 31 - 6$ انجام پذیرفت. خواص فیزیکی- شیمیابی نظیر سمیت ($\log LD_{50}$) و ضریب توزیع اکتانول-آب ($\log P$) از منابع معتبر علمی به دست آورده شده است. برای تمامی سوم مورد مطالعه توصیف گرهای مولکولی و روش‌های الگوریتم ژنتیک و برگشتی تعیین شدند. سپس ارتباط بین توصیف گرهای مولکولی و فعالیت‌ها با استفاده از روش چند متغیره خطی مورد بررسی قرار گرفت. به منظور ساخت و آزمون مدل‌های QSAR داده‌ها به طور تصادفی به دو دسته: آموزشی (۸۰ درصد) و آزمون (۲۰ درصد) تقسیم گردیدند. مدل‌ها با استفاده از ضرایب آماری نظیر ضریب همبستگی (R)، مجدور آن (R^2) و ریشه میانگین مربع خطأ (RMSE) انتخاب شدند. برای بررسی توانایی پیش‌بینی و اعتبار مدل‌ها از اعتبار سنجی تقاطعی "یکی بیرون" و اعتبار سنجی خارجی استفاده شد. اعتبار سنجی خارجی با استفاده از ضرایب رگرسیونی مجموعه آزمون انجام گردید. نتایج اعتبار سنجی و کیفیت بالای ضرایب مدل‌ها نشان می‌دهد که مدل‌های GA-MLR به دست آمده مدل‌های قابل قبول QSAR می‌باشند. این مدل‌ها می‌توانند جهت شناسایی توصیف گرهات مناسب و پیشگویی فعالیت‌های آن‌ها به کار گرفته شوند.

واژه‌های کلیدی: "سمیت"؛ "ارتباط کمی ساختار- فعالیت"؛ "روش رگرسیون خطی چند متغیره"؛ "الگوریتم ژنتیک"؛ "آفت کش‌های آلی کلردار"؛ "ضریب توزیع اکتانول-آب".

*نویسنده رابط، پست الکترونیکی: shafa38@yahoo.com

تاریخ دریافت مقاله: ۹۸/۴/۱۶ - تاریخ پذیرش مقاله: ۹۸/۹/۴



مقدمه

آفت کش‌های آلی کلر دار^{۱۶} (OCPs) به سه گروه اصلی ددت (DDT) و آنالوگ‌های وابسته آن، سیکلودین‌ها و ترکیبات وابسته آن و همگرا کلرو بنزن تقسیم می‌شوند. این سموم به دلیل آنکه به کنده متاپولیزه شده، از نظر شیمیایی پایدارند و در محیط باقی می‌مانند باعث کاهش باروری پرنده‌گان و سایر جانداران شده و بروز برخی سرطان‌ها به آن‌ها نسبت داده می‌شود دارای منع مصرف می‌باشند (Jayaraj, *et al.*, 2016). ددت از راه گوارش و تنفس جذب می‌شود و در صورت استفاده از حلال‌های روغنی در تهیه محلول سمی، امکان جذب پوستی آن هم وجود دارد (Hagmar, *et al.*, 2001). سیکلودین‌ها (آلدرین، اندرین، دی اندرین، هبتاکلرو و اندوسلوفان) و ترکیبات وابسته آن (توگزان و دی انوکلرو) خاصیت حشره‌کشی بیشتری نسبت به ددت دارند (Jayaraj, *et al.*, 2016). همگرا کلرو بنزن به تنها یکی از گروه‌های ترکیبات سمی کلردار را تشکیل می‌دهد (Zaffar, *et al.*, 2016) و ایزومر گامای آن بنام گاما همگزاکلرو بنزن (لیندان) هنوز در امور بهداشتی استفاده می‌شود.

مقالات بسیاری در مورد سموم کلردار منتشر شده است که در ادامه به تعدادی از آن‌ها اشاره می‌شود. سموم آلی کلردار در نمونه‌های آب رودخانه کارون به روش‌های کروماتوگرافی گازی یونش شعله و میکرو استخراج مایع- مایع مورد شناسایی قرار گرفته است (Behfar, *et al.*, 2013). نتایج این تحقیق نشان داد ادغام دو روش فوق روشنی با عملکرد ساده، سرعت زیاد و درصد بازیابی بالا را ایجاد می‌نماید. مدل‌های ارتباط کمی ساختار - فعالیت برای پیشگویی میزان سمیت آفت کش‌های جدید از آنالوگ‌های DDT طراحی گردیده‌اند (Saini & Kumar, 2014). با استفاده از روش رگرسیون چند متغیره خطی ارتباط سمیت آنالوگ‌های DDT با قطبیت، آبدوستی و ثابت‌های استخلاف و تفت^{۱۷} مورد بررسی قرار گرفته (Yehia & Abdel, 1983) و نتایج نشان دادند ثابت‌های استخلاف و تفت، ارتباط خطی مطلوبی با سمیت (logLD50) ترکیبات مورد مطالعه دارند.

مدل‌های خطی جهت پیش‌بینی تابع توزیع اکتانول-آب برای مشتقات DDT و دی کوفول با استفاده از کروماتوگرافی مایع با فشار بالا و مخلوطی از حلال‌های آب و اتانول به عنوان فاز متحرک ارائه شده است (Han, *et al.*, 2011). همچنین با استفاده از کروماتوگرافی گازی مدل‌های جهت پیشگویی تابع توزیع اکتانول-هوا (KO/A) و فشار بخاربرای ۹ سم آلی کلر دار از ایزومرهای DDT و DDE ارائه شده است (Zhang, *et al.*, 2009).

مقالات بسیاری در خصوص آلوهه بودن محصولات عمده‌گوشت، لبیات و ماهی با آفت کش‌های آلی کلر دار منتشر شده است (Fitzgerald, *et al.*, 2001; Hagmar, *et al.*, 2001; Mwevura, *et al.*, 2002; Bradman, *et al.*, 2007).

ضریب توزیع اکتانول-آب^{۱۸} (logP)

ضریب توزیع معیاری برای میزان اتحال ماده مورد نظر در دو فاز آلی و آبی است و به عنوان یک ثابت فیزیکی در نظر گرفته می‌شود. ضریب توزیع آب و اکتانول Po/w یکی از خواص شیمی فیزیکی قابل قبول، برای اندازه گیری آب گزیزی ترکیبات شیمیایی است و همچنین گزینه مفیدی برای تخمین توزیع یک ترکیب (دارو، سم...) در سطح بدن می‌باشد. ترکیبات آب گزیز با نسبت اکتانول به آب بالا معمولاً در نواحی آب گزیز بدن مانند غشاء دولایه لیپیدی سلول توزیع

^{۱-} Organochlorine pesticides

^{۲-} Taft

^{۱-} Octanol/ water partition coefficient

می‌شوند. در مقابل، ترکیبات آب‌دوست (نسبت اکтанول به آب پایین) در درجه نخست در نواحی آبی بدن مانند پلاسمای خون دیده می‌شوند (Scheytt, et al., 2005, Shargel, et al., 2012).

مواد و روش‌های محاسباتی

در این مقاله به بررسی ارتباط کمی ساختار-فعالیت^{۱۹} (QSAR) پرداخته شده است و در این راستا ارتباط سمیت (LD₅₀)^{۲۰} و ضریب توزیع اکтанول-آب با ساختار مولکولی سوموم آلی کلر دار نظیر ددت، کلردان، لیندن، الدرین، اندوسولفان و ایزودرین و.... با کمک توصیف گرهای مولکولی، روش‌های چند متغیره خطی و الگوریتم ژنتیک مورد بررسی قرار گرفته و مدل‌هایی جهت پیشگویی مقادیر سمیت و ضریب توزیع اکтанول-آب سوموم آلی کلردار ارائه گردیده است. بدین

منظور ۱۶ سم مورد مطالعه را به صورت تصادفی به دو دسته آموزشی با ۱۲ سم و مجموعه پیش‌بینی یا آزمون با ۴ سم تقسیم نموده و مقدار LD₅₀ آن‌ها با کمک مقاله علمی (Jayaraj, et al., 2016) و مقادیر ضریب توزیع اکтанول-آب (logP) با استفاده از منع معتبر علمی (Web search engine developed by ChemAxon) جمع‌آوری شد. نام و فرمول شیمیایی سوموم به همراه سمیت، میانگین سمیت، لگاریتم میانگین سمیت و تابع توزیع اکтанول-آب آن‌ها در جدول ۱ ثبت می‌باشد.

جدول ۱- نام و فرمول شیمیایی ۱۶ آفت‌کش آلی کلردار به همراه سمیت، میانگین سمیت، لگاریتم میانگین سمیت و ضریب توزیع اکтанول-آب آن‌ها (*ترکیبات انتخاب شده برای مجموعه آزمون و اعتبارسنجی خارجی)

Table 1. The chemical names and formulas of 16 organochlorine pesticides and their toxicity (logLD₅₀) and octanol / water distribution coefficient (logP)(* Compounds selected for test set in external validation procedure).

No.	Chemical name	Chemical formula	logP	Toxicity LD ₅₀	Mean of toxicity	log LD ₅₀
1	Aldrin	C ₁₂ H ₈ Cl ₆	5.270	39-60	49.5	1.695
2	Endrin	C ₁₂ H ₈ Cl ₆ O	4.480	3	3	0.477
3	Heptachlor	C ₁₀ H ₅ Cl ₇	5.240	40-220	130	2.114
4	Isobenzan (telodrin)	C ₉ H ₄ Cl ₈ O	5.224	4.8	4.8	0.681
5	Isodrin	C ₁₂ H ₈ Cl ₆	5.270	8.8	8.8	0.944
6	Lindane	C ₆ H ₆ Cl ₆	3.644	88-270-	179	2.253
7	Mirex	C ₁₀ Cl ₁₂	6.223	600-740	670	2.826
8	Pentachlorophenol	C ₆ Cl ₅ OH	4.659	27-211	119	2.075
9	1,4- dichlorobenzene	C ₆ H ₄ Cl ₂	2.993	1516-2138	1827	3.262
10	Benzene hexachloride (BHC)	C ₆ H ₆ Cl ₆	5.607	10000	10000	4
11	Endosulfan	C ₉ H ₆ Cl ₆ O ₃ S	3.690	18-220	119	2.075
12	Chlordane	C ₁₀ H ₆ Cl ₈	5.683	200-700	450	2.653
13	*Chloropropylate	C ₁₇ H ₁₆ Cl ₂ O ₃	5.240	5000	5000	3.699
14	*Dichloro diphenyl dichloroethane (DDE)	C ₁₄ H ₁₀ Cl ₄	6.190	800-1240	1020	3.008
15	*Dicofol	C ₁₄ H ₉ Cl ₅ O	5.600	684-1495	1089.5	3.037
16	Dieldrin	C ₁₂ H ₈ Cl ₆ O	4.481	46	46	1.663

²- Quantitative Structure-Activity Relationship (QSAR)

³- Lethal Dose, which causes the death of 50% (one half) of a group of test animals

منظور ۱۶ سم مورد مطالعه را به صورت تصادفی به دو دسته آموزشی با ۱۲ سم و مجموعه پیش بینی یا آزمون با ۴ سم تقسیم نموده و مقدار LD₅₀ آنها با کمک مقاله علمی (Jayaraj, et al., 2016) و مقادیر ضریب توزیع اکتانول-آب (logP) با استفاده از مبنی معترض علمی (Web search engine developed by ChemAxon) جمع آوری شد. نام و فرمول شیمیابی سوموم به همراه سمیت، میانگین سمیت، لگاریتم میانگین سمیت وتابع توزیع اکتانول-آب آنها در جداول ۱ ثبت می باشد.

جهت انجام این تحقیق ابتدا ساختار اولیه تمامی سموم با استفاده از نرم افزار گوس ویو^{۲۰} ترسیم شده و با کمک نرم افزار گوسین^{۲۱} به روش آغازین و خط دستور HF/6-31G* اقدام به بهینه سازی ترکیبات گردید. رفتار شیمیابی یک ترکیب به ساختار مولکولی های آن وابسته است به منظور برقراری ارتباط ساختار-فعالیت از توصیف گر های مولکولی (Todeschini & Consonni, 2009 & Todeschini & Consonni, 2000) به منظور محاسبه انواع توصیف گرهای مولکولی (Goodarzi, et al., 2012) استفاده (Saxena & Prathipati, 2003, Ghosh & Bagchi, 2009) به کار گرفته شد این نرم افزار برای هر ترکیب مورد مطالعه تعداد زیادی توصیف گر محاسبه نمود لذا به منظور تعیین مناسب ترین توصیف گرها از روش الگوریتم ژنتیک^{۲۴} (MLR) از آنها استفاده گردید و بدین وسیله چندین مدل برای هر فعالیت مورد مطالعه به دست آمد که با توجه به ضرایب آماری (Chatterjee, et al., 2013) معادله که عبارتند از ضریب همبستگی (R)، مجدول آن (R²)، ضریب فیشر(F)، ضریب تعیین تعديل شده adj R²، ریشه میانگین مربع خطا (RMSE)، آماره دوربین-واتسون(DW) و تعداد حداقل توصیف گرهای موجود در هر مدل، مناسب ترین مدل برای هر فعالیت مورد مطالعه تعیین گردید. در نهایت مدل های انتخاب شده مورد اعتبار سنجی قرار گرفتند.

نتایج و بحث

مدل های اولیه به دست آمده برای سمیت (logLD₅₀)

با توجه به اعداد گزارش شده برای سمیت که دارای حداقل و حداقلتر مقدار می باشند سه نوع محاسبه یکبار با مقدار حداقل، یکبار با مقدار حداقلتر و یکبار با مقدار میانگین سموم انجام گردید اما رابطه خطی مناسبی بین سمیت (مقادیر حداقل، حداقل و میانگین) و توصیفگر های به دست آمده از نرم افزار دراگون حاصل نشد. ارتباط لگاریتم میانگین سمیت با توصیفگرها نیز مورد بررسی قرار گرفت که مشخص گردید رابطه خطی مطلوبی بین آنها برقرار است. در جدول ۲ توصیف گرها و ضرایب آماری به دست آمده از نرم افزار آماری SPSS و روش رگرسیون خطی چندگانه (MLR) و روش برگشتی نشان داده شده است. همانطوری که از جدول ۲ مشخص است ضرایب آماری به دست آمده برای مدل های مختلف نزدیک به یکدیگر می باشد. اما یکی از شرایط معادله مناسب وجود تعداد کم توصیف کننده در آن است لذا مدل

²¹- Gauss View 05

²²- Gaussian 09

²³- Dragon

²⁴- Genetic Algorithm (GA)

¹- MATLAB 2010a

²- Backward

³- Multiple Linear Regression(MLR)

۸ با سه توصیف کننده مناسب‌ترین مدل در نظر گرفته شد (معادله ۱). این توصیف گرها در دسته توصیف گرهای اتصالی^{۲۸} (X3A,X1Av) و مسیر^{۲۹} (PiID) تقسیم‌بندی می‌شوند.

$$(1) \log LD_{50} = -22.184 + 0.30 (\text{PiID}) + 34.516 (\text{X3A}) + 17.654 (\text{X1AV}) \\ (N=12, R=0.884, R^2=0.781, R^2_{\text{adj}}=0.686, F=8.658, DW=2.082, \text{Sig}=0.007, \text{RMSE}=0.718)$$

جدول ۲- ضرایب آماری به دست آمده برای لگاریتم سمیت با روش GA-MLR

Table 2. Statistical parameters of the models calculated with the GA-MLR method for toxicity ($\log LD_{50}$).

Model	Independent variables	R	R^2	R^2_{adj}	RMSE
1	X5sol, X4Av, IC2, Wap, CIC3, X3A, X1Av, Mv, piID, Har2	0.984	0.968	0.860	0.640
2	X5sol, X4Av, IC2, CIC3, X3A, X1Av, Mv, piID, Har2	0.984	0.968	0.828	0.645
3	X5sol, X4Av, CIC3, X3A, X1Av, Mv, piID, Har2	0.981	0.962	0.859	0.667
4	X5sol, X4Av, CIC3, X3A, X1Av, piID, Har2	0.970	0.941	0.835	0.683
5	X5sol, CIC3, X3A, X1Av, piID, Har2	0.938	0.880	0.736	0.698
6	X5sol, X3A, X1Av, piID, Har2	0.915	0.838	0.702	0.701
7	X5sol, X3A, X1Av, piID	0.903	0.816	0.711	0.709
8	X3A, X1Av, piID	0.884	0.781	0.686	0.718

مدل‌های اولیه به دست آمده برای لگاریتم تابع توزیع اکтанول-آب (logP)

برای لگاریتم ضریب توزیع اکتانول-آب، ۷ مدل با ۲ الی ۸ توصیف‌گر با استفاده از روش چند متغیره خطی به دست آمد که نتایج این بررسی در جدول ۳ آورده شده است. مدل ۷ با دو توصیف‌گر (IC1, TIC4) مناسب‌ترین مدل انتخاب گردید. این دو توصیف گر در گروه توصیف گرهای اطلاعاتی^{۳۰} می‌باشند. معادله ۲ حاصل این بررسی می‌باشد.

$$\log P = 6.915 - 10.555 (\text{IC1}) + 0.378 (\text{TIC4}) \quad (2) \\ (N=12, R=0.841, R^2=0.707, R^2_{\text{adj}}=0.714, F=6.501, \text{DW}=2.012, \text{Sig}=0.018, \text{RMSE}=0.825)$$

جدول ۳- ضرایب آماری به دست آمده برای لگاریتم تابع توزیع اکتانول-آب با روش GA-MLR

Table 3. Statistical parameters of the models calculated with the GA-MLR method for logP.

Model	Independent variables	R	R^2	R^2_{adj}	RMSE
1	S3K, IC1, MAXDN, TIC4, TIC1, STN, SIC0, WW	0.899	0.809	0.799	0.783
2	S3K, IC1, MAXDN, TIC4, TIC1, STN, SIC0	0.899	0.809	0.791	0.790
3	S3K, IC1, TIC4, TIC1, STN, SIC0	0.899	0.809	0.783	0.797
4	S3K, IC1, TIC4, TIC1, STN	0.897	0.805	0.765	0.799
5	IC1, TIC4, TIC1, STN	0.878	0.771	0.740	0.817
6	IC1, TIC4, TIC1	0.854	0.729	0.731	0.820
7	IC1, TIC4	0.841	0.707	0.714	0.825

⁴- Connectivity indices⁵- Walk and path counts¹- Information indices

بررسی همبستگی^{۳۱} بین متغیرهای مستقل

برای تأیید مدل‌های پیشنهادی دو مرحله دیگر باید پشت سر گذاشته شود در اولین مرحله همبستگی بین متغیرهای مستقل و یا همان توصیف گرهای باقیمانده در مدل‌ها باید مورد بررسی قرار گیرد و در دومین مرحله اعتبار سنجی مدل‌ها بررسی می‌گردد. همبستگی بین توصیف گرها هر چه نزدیک به صفر باشد گویای مستقل بودن آنها است در حالی که همبستگی نزدیک به یک مشخص می‌نماید بین توصیفگرها همبستگی کاملی وجود دارد و یکی از دو توصیف گر باید حذف گردد. برای بررسی همبستگی (Craney & Surles, 2002 & Pourbasheer, et al., 2017) دو ضریب در نظر گرفته می‌شود که عبارتند از ضریب نفوذ پذیری یا تاثیر پذیری^{۳۲} (VIF) و دیگری ضریب پیرسون^{۳۳} (PCC). این دو ضریب از خروجی نرم‌افزار SPSS بدست می‌آیند. ضریب نفوذ پذیری که هم خطی متغیرهای مستقل را بررسی می‌کند در صورتی که عددی بین یک و ده را داشته باشد مشخص کننده اینست که همبستگی کمی بین توصیفگرها وجود دارد اما ضریب پیرسون هر چه به صفر نزدیکتر باشد گویای عدم همبستگی بین دو متغیر مستقل می‌باشد. در جدول ۴ ضرایب فوق به همراه تولرنس^{۳۴} (عکس ضریب نفوذ پذیری) برای لگاریتم سمیت آورده شده است. با توجه به داده‌های جدول همبستگی بین دو توصیف گر X3A و PilD نزدیک به یک می‌باشد و ضریب نفوذ پذیری PilD از X3A بزرگتر است لذا این توصیف گر از ورودی نرم‌افزار حذف گردید. خروجی جدید نشان داد بین توصیف گرهای باقیمانده همبستگی کمی وجود داشته و ضریب نفوذ پذیری نیز از ده کمتر می‌باشد. معادله^۳ حاصل این بررسی است.

$$\log LD_{50} = 133.104 + 0.30 (\text{pilD}) + 23.465 (\text{X1AV}) \quad (3)$$

(N=12, R=0.864, R²=0.746, R_{adj}=0.656, F=7.459, DW=1.96, Sig=0.007, RMSE=0.620)

جدول ۴- ضرایب همبستگی بین توصیفگرهای مولکولی برای سمیت (معادله ۱).

Table 4. Correlation coefficients between the molecular descriptors for toxicity (Equation1).

Pearson correlations			Collinearity statistical		
X3A	X1Av	PilD	Tolerance	VIF(1)	VIF(2)
1	0.776	0.909	0.051	19.544	-----
X1Av	1	0.727	0.364	2.748	1.53
pilD		1	0.160	6.250	2.57

در جدول ۵ ضرایب پیرسون، تولرنس و نفوذ پذیری توصیفگرهای باقیمانده در مدل ۲ آورده شده است. با توجه به مقدار ضرایب ذکر شده بین دو توصیفگر IC1 و TIC4 همبستگی قابل ملاحظه‌ای وجود ندارد بنابراین معادله^۳ برای مرحله بعد مورد استفاده قرار می‌گیرد.

جدول ۵- ضرایب همبستگی به دست آمده برای لگاریتم ضریب توزیع اکتانول-آب (معادله ۲).

Table 5. Correlation coefficients between the molecular descriptors for logP (Equation2).

Pearson correlations		Collinearity statistical	
IC1	TIC4	Tolerance	VIF
1	-0.258	0.933	1.071
TIC4	1	0.933	1.071

^۱- Multicollinearity^{۳۲}- Variance inflation factor^{۳۳}- Pearson coefficient correlation^{۳۴}- Tolerance

اعتبار سنجی مدل‌ها

برای ارزیابی دقت نتایج، تصدیق و معتبر نمودن مدل‌ها باید از یکی از روش‌های اعتبار سنجی & (Cramer III, 1988) استفاده نمود. در این تحقیق از Votano, 2004 & Gramatica, 2007, Roy & Mitra, 2011, Saghiae, et al., 2013) روش اعتبار سنجی متقابل یا ضربدری ۳۵ و روش اعتبار سنجی خارجی ۳۶ استفاده شده است. برای این منظور از همان ابتدا سوم آلی کلردار مطالعه به طور تصادفی به دو دسته آموزشی و آزمون تقسیم شدند. برای اعتبار سنجی متقابل یا ضربدری هر بار به طور تصادفی یکی از ترکیبات مجموعه آموزشی حذف و مقدار مجدد همبستگی با استفاده از معادله ۴ محاسبه گردید این عمل برای ۰.۲۵٪ مجموعه آموزشی تکرار گردید و سپس میانگین مجدد همبستگی به صورت Q^2_{LOO} ^{۳۷} محاسبه شد. در معادله ۴، i بیانگر مقدار مشاهده شده یا مقدار تجربی، i آیانگر مقدار پیشگویی شده یا محاسبه شده و \bar{Y} آیانگر مقدار میانگین می‌باشد. Q^2_{LOO} برای لگاریتم سمیت و ضریب توزیع اکتانول-آب به ترتیب ۰/۸۹۷ و ۰/۸۱۵ محاسبه گردید.

$$Q^2 = 1 - \frac{\sum(Y_i - \hat{Y}_{i|i})^2}{\sum(Y_i - \bar{Y})^2} \quad Q^2 \leq 1 \quad (4)$$

از مجموعه آزمون جهت انجام اعتبار سنجی خارجی استفاده گردید. برای این منظور با استفاده از مدل‌های به دست آمده برای مجموعه آزمون ضرایب آماری محاسبه شد. جدول ۶ مقادیر ضرایب آماری برای مجموعه آزمون و آموزشی فعالیت‌های مورد مطالعه را نشان می‌دهد.

جدول ۶- ضرایب آماری به دست آمده برای مجموعه آزمون و آموزشی $\log P$ و $\log LD_{50}$

Table 6. Statistical parameters obtained for training and test sets of $\log P$ and $\log LD_{50}$.

Activity	N	R	R ²	R ² _{adj}	RMSE	DW	Sig	F
log(LD ₅₀)	12	0.864	0.746	0.656	0.620	1.960	0.007	7.459
log(LD ₅₀)	4	0.908	0.824	0.889	0.265	2.178	0.060	38.623
logP	12	0.831	0.690	0.560	0.825	2.012	0.018	6.501
logP	4	0.898	0.806	0.747	0.599	1.918	0.088	9.870

ضرایب آماری به دست آمده برای مجموعه آزمون گویای معتبر بودن مدل‌های به دست آمده بوده و تائید می‌نماید با استفاده از معادلات و توصیف گرهای به دست آمده برای هر یک از فعالیت‌های مورد نظر می‌توان اقدام به پیشگویی آن فعالیت‌ها برای سوم آلی کلردار مطالعه نشده نمود.

آماره دوربین-واتسون^{۳۸}

برای بررسی استقلال خطاهای مدل رگرسیون از آماره دوربین-واتسون (DW) استفاده می‌شود & (Chatterjee, 2013) مقدار این ضریب بین صفر و چهار می‌باشد. اگر مقدار ضریب دوربین-واتسون به دست آمده نزدیک به ۲ باشد مشخص می‌نماید خطاهای رگرسیون مستقل از هم می‌باشند که برای تمامی مدل‌های به دست آمده این آماره نزدیک به ۲ است پس می‌توان نتیجه گرفت خطاهای معنادار نیستند.

^۱- Cross-validation (CV)

^۲- External validation

^۳- Leave - one - out (Q^2_{LOO})

^۱- Durbin-Watson Statistic

۳۹ باقیمانده

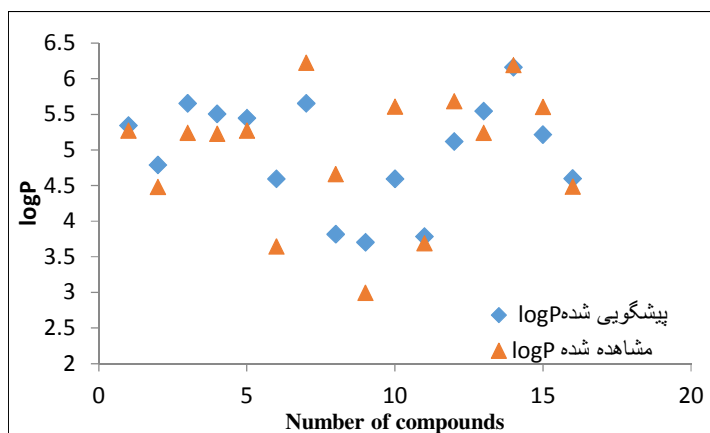
در آمار، باقیمانده تفاوت بین مقادیر مشاهده شده و پیشگویی شده است. یک نمودار باقیمانده نمایش مقادیر باقیمانده در روی محور عمودی و مقادیر مشاهده شده یا تجربی بر روی محور افقی می‌باشد. اگر نقاط به دست آمده از این نمودار به صورت تصادفی در اطراف محور افقی (خط صفر) پراکنده شده باشند و از الگویی خاصی تبعیت ننموده باشند گویای آن است که در مدل خطی به دست آمده هیچ خطای قاعده داری وجود ندارد. در جدول ۷ مقادیر مشاهده شده، پیشگویی شده و باقیمانده برای لگاریتم سمیت و لگاریتم ضریب توزیع سوم آلی کلردار آورده شده است. نمودارهای ۱ و ۲ مقادیر مشاهده شده بر حسب مقادیر پیش‌بینی شده را برای هر دو مجموعه آموزشی و آزمون به نمایش می‌گذارد. نمودارهای ۳ و ۴ مقادیر مشاهده شده بر حسب باقیمانده را برای لگاریتم سمیت و لگاریتم ضریب توزیع برای هر دو مجموعه آموزشی و آزمون نشان می‌دهد.

جدول ۷- مقادیر مشاهده شده، پیشگویی شده و باقیمانده برای لگاریتم سمیت و لگاریتم ضریب توزیع سوم آلی کلردار

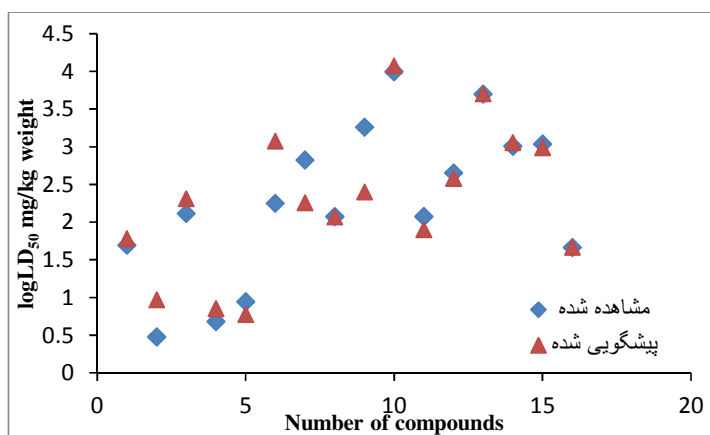
Table 7. The experimental, predicted and residual values of logP and log(LD₅₀) of organochlorine pesticides.

Compounds	Observed log(LD ₅₀)	Predicted log(LD ₅₀)	Residual	Observed logP	Predicted logP	Residual
Aldrin	1.695	1.784	-0.090	5.270	5.340	-0.070
Endrin	0.477	0.970	-0.493	4.480	4.788	-0.308
Heptachloro	2.114	2.312	-0.199	5.240	5.652	-0.412
Isobenzene	0.681	0.853	-0.172	5.224	5.506	-0.282
Isodrin	0.944	0.772	0.172	5.270	5.445	-0.175
lindane	2.253	3.075	0.823	3.644	4.591	-0.947
Mirex	2.826	2.257	0.569	6.223	5.653	0.571
Pentachlorophenol	2.075	2.069	0.006	4.659	3.818	0.841
1,4dichlorobenzene	3.262	2.402	0.859	2.993	3.703	-0.710
Benzene hexa chloro	4	4.075	-0.075	5.607	4.591	1.016
Endosulfan	2.075	1.900	0.175	3.690	3.782	-0.092
Chlordane	2.653	2.581	0.072	5.683	5.114	0.569
Chloropropylate*	3.699	3.703	0.004	5.240	5.544	-0.304
DDE*	3.008	3.057	-0.049	6.190	6.158	0.032
Dicofol*	3.037	2.987	0.050	5.600	5.211	0.389
Diieldrine*	1.663	1.667	0.005	4.481	4.597	-0.116

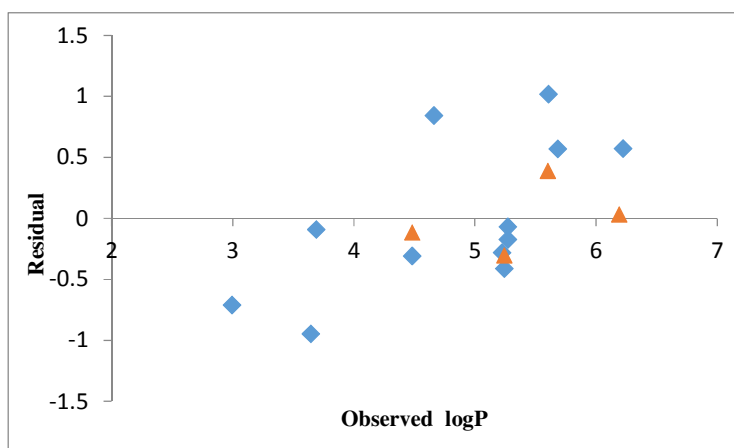
²- Residual



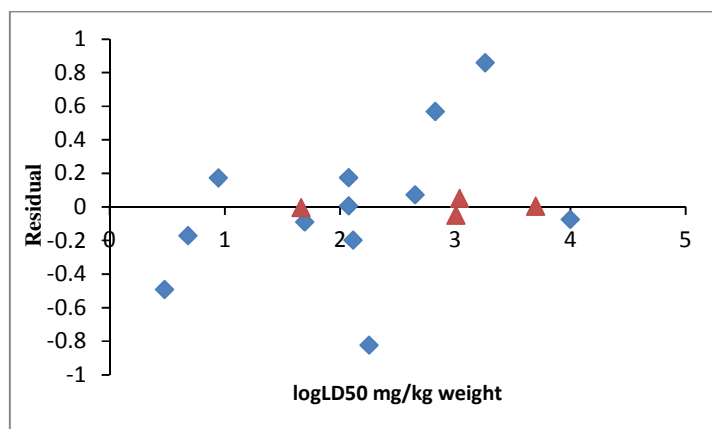
شکل ۱- مقادیر مشاهده شده بر حسب پیشگویی شده برای لگاریتم ضریب توزیع با روش GA-MLR.
Fig. (1). Comparison between predicted and observed values of logP by the GA-MLR method.



شکل ۲- مقادیر مشاهده شده بر حسب پیشگویی شده برای لگاریتم سمیت با روش GA-MLR.
Fig. (2). Comparison between predicted and observed values of logLD50 by the GA-MLR method.



شکل ۳- مقادیر مشاهده شده بر حسب باقیمانده برای لگاریتم ضریب توزیع با روش GA-MLR.
Fig. (3). Plot of the residual values for logP of compounds versus the experimental values by the GA-MLR method.



شکل ۴- مقادیر مشاهده شده بر حسب باقیمانده برای لگاریتم سمیت با روش GA-MLR

Fig. (4). Plot of the residual values for logLD50 of compounds versus the experimental values by the GA-MLR method

توصیف گرهای منتخب

با توجه به نتایج جدول ۴ توصیف گرهای X1Av و piID از دسته توصیف گرهای اتصالی و مسیر از بقیه ۱۸ دسته توصیف گرهای محاسبه شده توسط نرم افزار دراگون جهت پیشگویی لگاریتم سمیت موثرتر می‌باشند. این دو توصیف‌گر جز توصیف گرهای توپولوژیکی محاسبه شوند. شاخص‌های اتصال مولکولی برای استخراج مدل ساده مربوط به غلظت بحرانی میسل‌های کاتیونی (کلرید) و همچنین جهت مدل‌سازی نقطه جوش هیدروکربن‌های بنزنوئید مورد استفاده قرار گرفته‌اند (Ramane & Yalnaik, 2017, Mozrzymas, 2017).

با توجه به نتایج جدول ۵ توصیف گرهای اطلاعاتی IC1 و TIC4 جهت پیشگویی لگاریتم ضریب توزیع اکتانول-آب انتخاب شدند. در سال‌های اخیر از توصیف گرهای اطلاعاتی به طور گستردگی برای توصیف ساختارهای شیمیایی و همبستگی آن با خواص فیزیکی، شیمیایی و ساختاری استفاده شده است. این توصیف گرها در یک گراف براساس فاصله و با توجه به توانایی همبستگی و قدرت تفکیک پذیری آن‌ها در نظر گرفته می‌شوند (Konstantinova, 2006). در جدول ۸ توضیح مختصراً در خصوص توصیف گرهای منتخب برای پیشگویی فعالیت‌های مورد نظر ارائه شده است.

جدول ۸- توصیف‌گرهای انتخاب شده در مدل‌های GA-MLR

Table 8. The Selected Set of descriptors presented in the GA-MLR Models.

Abbreviation	Description	Type of Descriptor
X1Av	average valence connectivity index of order 1	Connectivity indices
piID	conventional bond order ID number	Walk and path counts
TIC4	Total Information Content index (neighborhood symmetry of 4-order)	Information indices
IC1	Information Content index (neighborhood symmetry of 1-order)	Information indices

نتیجه گیری

مطالعات QSAR و QSAR ابزاری قوی جهت مطالعه و بررسی ارتباط ساختار- خاصیت و ساختار- فعالیت ترکیبات شیمیایی مهیا نموده است که به منظور پیش‌بینی خواص، فعالیت‌ها و طراحی ترکیبات جدید به کار می‌رond. در این مطالعه

با استفاده از روش رگرسیون خطی چند متغیره ارتباط کمی لگاریتم سمیت و ضریب توزیع اکтанول-آب با ساختار مولکولی ۱۶ سم از سموم آلی کلردار مورد ارزیابی قرار گرفت. تعداد زیادی توصیف کننده با استفاده از نرم افزار دراگون محاسبه گردید و با کمک روش‌های الگوریتم ژنتیک و برگشتی تعداد توصیف گرها تقلیل داده شد و با استفاده از نرم افزار SPSS و روش MLR مدل‌های اولیه برای فعالیت‌های مورد مطالعه به دست آمد. بعد از بررسی همبستگی بین توصیف گرها و بررسی اعتبار سنجی مدل‌های بدست آمده مشخص گردید ارتباط خطی مطلوبی بین ساختار سموم آلی کلردار و فعالیت‌های مورد مطالعه آنها وجود دارد. برای پیشگویی لگاریتم سمیت، دو توصیفگر از گروه توصیف گرهای اتصالی و مسیر و برای پیش‌بینی لگاریتم ضریب توزیع اکтанول-آب دو توصیف گر از دسته توصیف گرهای اطلاعاتی از دیگر توصیف گرها از اهمیت زیادتری برخوردارند. با کمک این توصیف کننده‌های مولکولی و با استفاده از روش خطی می‌توان اقدام به مدل‌سازی و پیشگویی فعالیت‌های مورد نظر پرداخت و در وقت، هزینه صرفه جویی نموده و ضمن آسیب نرساندن به محیط زیست برای ترکیبات ناشناخته و یا شناخته شده قادر اطلاعات مورد نیاز، به پیش‌بینی فعالیت‌های مورد نظر اقدام نمود.

Reference

- Behfar, A., Nazari, Z., Rabiee, M. H., Raeesi, G., Oveisi, M. R., Sadeghi, N. and Jannat, B. 2013.** The organochlorine pesticides residue levels in Karun river water. *Jundishapur journal of natural pharmaceutical products*, 8(1): 41-46.
- Bradman, A. S. A., Schwartz, J. M., Fenster, L., Barr, D. B., Holland, N. T. and Eskenazi, B. 2007.** Factors predicting organochlorine pesticide levels in pregnant Latina women living in a United States agricultural area. *Journal of Exposure Science and Environmental Epidemiology*, 17(4): 388-99.
- Chatterjee, S. and Simonoff, J. 2013.** *Handbook of Regression Analysis*. John Wiley & Sons: New York.
- Cramer III, R. D., Bunce, J. D., Patterson, D. E. and Frank, I. E. 1988.** Cross validation, Bootstrapping, and Partial Least Squares Comparedwith Multiple Regression in Conventional QSAR Studies. *Molecular Informatics*, 7: 18–25.
- Craney, T. A. and Surles, J. G. 2002.** Model-Dependent Variance Inflation Factor Cutoff Values. *Quality Engineering*, 3: 391-398.
- Fitzgerald, E., Hwang, S. A., Deres, D. A., Bush, B., Cook, K. and Worswick, P. 2001.** The association between local fish consumption and DDE, mirex, and HCB concentrations in the breast milk of Mohawk women at Akwesasne. *Journal of exposure analysis and environmental epidemiology*, 11: 381–388.
- Ghosh, P. and Bagchi, M. C. 2009.** QSAR modeling for quinoxaline derivatives using genetic algorithm and simulated annealing based feature selection. *Current Medicinal Chemistry*, 16: 4032-4048.
- Gramatica, P. 2007.** Principles of QSAR models validation: Internal and external. *QSAR & Combinatorial Science*, 2007, 26(5), 694-701.
- Goodarzi, M., Dejaegher, B. and Heyden, Y. V. 2012.** Feature selection methods in QSAR studies. *Journal of AOAC International*, 95(3): 636-651.
- Hagmar, L., Rylander, L., Dyremark, E., Klasson-Wehler, E. and Erfurth, E. M. 2001.** Plasma concentration of persistent organochlorine in relation of thyrotropin and thyroid hormone levels in women. *International Archives of Occupational and Environmental Health*, 74:184–188.
- Han, S. Y., Qiao, J. Q., Zhang, Y. Y., Yang, L. L., Lian, H. Z., Ge, X. and Chen, H. Y. 2011.** Determination of n-octanol/water partition coefficient for DDT-related compounds by RP-HPLC with a novel dual-point retention time correction. *Chemosphere*, 83(2): 131-136.

- Jayaraj, R., Megha, P. and Sreedev, P. 2016.** Organochlorine pesticides, their toxic effects on living organisms and their fate in the environment. *Interdisciplinary toxicology*, 9: 90-100.
- Konstantinova, E. V. 2006.** On some applications of information indices in chemical graph theory. In *General Theory of Information Transfer and Combinatorics* Springer, Berlin, Heidelberg. pp. 831-852.
- Mozrzymas, A. 2017.** Molecular connectivity indices for modeling the critical micelle concentration of cationic (chloride) Gemini surfactants. *Colloid and polymer science*, 295(1): 75-87.
- Mwevura, H., Othman, O. C. and Mhehe, G. L. 2002.** Organochlorine pesticide residues in sediments and biota from the coastal area of Dar es Salaam city, Tanzania. *Marine Pollution Bulletin*, 45(1-12): 262-267.
- Pourbasheer, E., Ahmadpour, S., Zare-Dorabei, R. and Nekoei, M. 2017.** Quantitative structure activity relationship study of p38 α MAP kinase inhibitors. *Arabian Journal of Chemistry*, 10: 33-43.
- Ramane, H. S. and Yalnaik, A. S. 2017.** Status connectivity indices of graphs and its applications to the boiling point of benzenoid hydrocarbons. *Journal of Applied Mathematics and Computing*, 55(1-2): 609-627.
- Roy, K. and Mitra, I. 2011.** On Various Metrics Used for Validation of Predictive QSAR Models with Applications in Virtual Screening and Focused Library Design. *Combinatorial Chemistry & High Throughput Screen*, 14: 450-474.
- Saini, V. and Kumar, A. 2014.** QSAR analyses of DDT analogues and their in silico validation using molecular docking study against voltage-gated sodium channel of Anopheles funestus, *SAR and QSAR in Environmental Research*, 25: 777-790.
- Saghiae, L., Sakhi, H., Sabzyan, H., Shahlaei, M. and Shamshirian, D. 2013.** Stepwise MLR and PCR QSAR study of the pharmaceutical activities of antimalarial 3-hydroxypyridinone agents using B3LYP/6-311++ G** descriptors. *Medicinal Chemistry Research*, 22: 1679-1688.
- Saxena, A. K. and Prathipati, P. 2003.** Comparison of MLR, PLS and GA-MLR in QSAR analysis. *SAR and QSAR in Environmental Research*, 14: 433-445.
- Scheytt, T., Mersmann, P., Lindstädt, R. and Heberer, T. 2005.** 1-Octanol/water partition coefficients of 5 pharmaceuticals from human medical care: carbamazepine, clofibrate acid, diclofenac, ibuprofen, and propyphenazone. *Water, air, and soil pollution*, 165(1-4): 3-11.
- Shargel, L., Susanna, W. and Yu, A. B. 2012.** "Chapter 10: Physiological Drug Distribution and Protein Binding". *Applied Biopharmaceutics & Pharmacokinetics*. (secondary) (6th ed.). New York: McGraw-Hill Medical. p. 211.
- Todeschini, R. and Consonni, V. 2000.** *Handbook of Molecular Descriptors*. Weinheim: Wiley-VCH.
- Todeschini, R. and Consonni, V. 2009.** Molecular descriptors for chemoinformatics. Alphabetical listing (2nd ed., Vol. 1). Weinheim: Wiley-VCH.
- Votano, J. R., Parham, M., Hall, L. H., Kier, L. B., Oloff, S., Torpsha, A., Xie, Q. and Tonga, W. 2004.** Three new consensus QSAR models for the prediction of Ames genotoxicity. *Mutagenesis*, 19: 365- 377.
- Web search engine developed by ChemAxon. 2019.** software available at "<http://WWW.Chemicalize.Org>".
- Yehia, A. I. and Abdel-A, A. L. 1983.** Quantitative Structure-Activity Relationship of DDT Analogs. *Pesticide Biochemistry and Physiology*, 20: 115-123.
- Zaffar, H., Irshad, U., Pervez, A. and Alam Naqvi, T. 2016.** Mode of Action, Toxicity and Biodegradation of Organochlorinated Pesticides: A Mini Overview. *Journal of Applied Environmental and Biological Sciences*, 6(8): 1-6.
- Zhang, N., Yang, Y., Liu, Y. and Tao, S. 2009.** Determination of octanol-air partition coefficients and supercooled liquid vapor pressures of organochlorine pesticides. *Journal of Environmental Science and Health Part B*, 44: 649-656.

Prediction of toxicity and octanol – water partition coefficient of organochlorine pesticides using Molecular Descriptors and GA-MLR Method

Zahra Zamani¹, Fatemeh Shafiei^{*2}

1. PHD student, Department of Chemistry, Arak Branch, Islamic Azad University, P.O. BOX 38135-567, Arak, Iran

2. Assistant Professor, Department of Chemistry, Arak Branch, Islamic Azad University, P.O. BOX 38135-567, Arak, Iran

Abstract

In this research, Quantitative Structure–Activity Relationship (QSAR) studies have been used to predict activities of organochlorine pesticides. Firstly, the chemical structure of molecules was drawn with the Gauss view 05 program and optimized at Hartree–Fock level of theory and 6-31G* basis sets using Gaussian 09 software. The physiochemical properties namely octanol-water partition coefficient ($\log P$) and toxicity ($\log LD_{50}$) are taken from the scientific web book. The dragon software has been used for the calculation of molecular descriptors. The suitable descriptors were selected with the aid of the genetic algorithm (GA) and backward techniques. At the next step, the relationship between molecular descriptors and the activities was investigated by multiple linear regression (MLR) method. In order to build and test QSAR models, a data set of organochlorine pesticides was randomly separated into 2 groups: training (80%) and test (20%) sets.

The models were evaluated with regression parameters: correlation coefficient (R), squared regression coefficient (R^2), adjusted correlation coefficient (R^2_{adj}) and root mean squared error (RMSE).

For the predictive ability and verification of the models are discussed by using Leave-One-Out (LOO)

cross-validation and external test set. The external prediction accuracy of the obtained models was examined using the above regression parameters. Results of validations and high statistical quality of models indicate that generated GA-MLR models are reasonable QSAR models. These models help to delineate the important descriptors responsible for predicting their activities.

Keywords: "toxicity" ; "QSAR" ; "Multiple linear regression" ; "genetic algorithm (GA)" ; "organochlorine pesticides" ; "octanol - water distribution coefficient".

* Corresponding Author, E-mail: shafa38@yahoo.com

Received: 7 Jul. 2019 – Accepted: 25 Nov. 2019

